

## 1. まえがき

前報<sup>1)</sup>にありて、せん断形ラーメンの応答解析の簡易化を図るため、理想化した復元力特性より弾塑性の簡単な判別式を導出し、変動譲返し水平荷重による、曲げ剛性を考慮した解析法を示したが、本報ではさらに死荷重による軸力の影響をも加味した弾塑性応答計算法を提示し、計算例として門型ラーメンにおける軸力の動的挙動に及ぼす影響を検討するものである。

なお、本解析にありては軸力の存在による柱の不安定現象およびductility factorの減少は生じないものと仮定する。

## 2. モデルの復元力特性

前報と同じく解析を容易にするため、理想化したせん断形ラーメンを考え、次の仮定を設ける。

1) ラーメンは剛強な地盤に固定されており、地盤の水平振動は考えず、回転は考えない。

2) ラーメンの質量は各階床位置に集中している。

3) 床すべりは十分剛であり、柱の曲げモーメント-部材角曲線は図-1に示すように理想化した形とする。

$M_p$ : 軸力の影響を考慮した塑性モーメント、

$K = \delta EI/h$ ,  $EI$ : 柱の曲げ剛性,  $h$ : 柱の高さ,  $R_p = M_p/K$ ,

$R^e$ : 弹性部材角,  $R^p$ : 塑性部材角。

4) 減衰力は無視する。

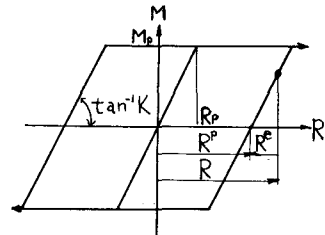


図-1

図-2は1本の柱を取り出したもので、柱上部の建物の重量によって柱に生じる軸力を $N$ とし、柱頭柱脚の曲げモーメントを $M$ とする。

図-3(a)のとき工形断面の場合には、曲げモーメント $M$ と軸力 $N$ との比によって、中立軸がwebにある場合とflangeにある場合とに分れるが、図-3(b),(c)のようになしと $N$ とが作用する極限時の $M_p$ と $N$ の相関を求めるには次式がえられる。

(a) 中立軸がwebにある場合

$$\left| \frac{M_p}{M_0} \right| = 1 - \alpha \left( \frac{N}{N_0} \right)^2 \quad (1)$$

$$N = \frac{\{ 2Bt_2 + t_1(A-2t_2) \}^2}{4t_1\{ Bt_2(A-t_2) + t_1(\frac{A}{2}-t_2) \}^2}$$

$M_0$ : 曲げモーメントの終局耐力

$N_0$ : 軸力のみの終局耐力

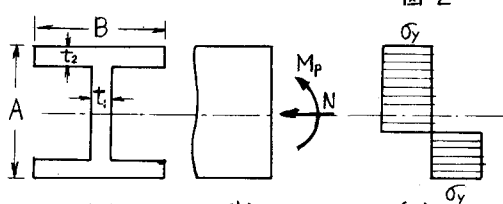


図-3

ii) 中立軸が  $t$  に重なる場合

$$\left| \frac{M_p}{M_0} \right| = C \left[ \left\{ \left( \frac{A}{2} \right)^2 - b^2 \right\} - 2ab \frac{N}{N_0} - a^2 \left( \frac{N}{N_0} \right)^2 \right] \quad (2)$$

$$\text{ただし } Q = \{t(A/2-t) + Bt_i\}/B, \quad b = (A/2-t_i)(B-t_i)/B, \quad C = B/\{Bt_i(A-t_i) + t_i(A/2-t_i)^2\}$$

### 3. 弾性時の基本式

次にラーメンの運動方程式と Lagrange の方程式より諸量を、これを差分化して解く際に演算に必要な弾性時の判別式、曲げモーメントおよび塑性部材角の算定式を求めておこう。

任意時刻  $t$  における  $i$  層  $j$  番目の柱が弾性であれば、その両端の曲げモーメント  $M(t)$  は図 1, 2 を参照して次式で表わされる。

$${}_j M_i(t) = {}_j K_i {}_j R_i^e(t) = {}_j K_i [R_i(t) - {}_j R_i^p(t)] = {}_j K_i \left[ \frac{x_i(t) - x_{i-1}(t)}{h} - {}_j R_i^p(t) \right] \quad (3)$$

ここで  ${}_j K_i$  :  $i$  層  $j$  番目の柱の剛度定数,  ${}_j R_i^e$  : 同柱の弾性部材角,  ${}_j R_i^p$  : 同柱の塑性部材角,

$R_i$  :  $i$  層の部材角,  $x_i, x_{i-1}$  :  $i, i-1$  層の地盤に対する水平変位。

また、柱は弾性と仮定しておこう。時間の隔たり  $k$  を十分小さくとすれば、1 step 前の時刻  $t-k$  からまでの微小時間の塑性変形量は零となり、式(3)の右辺第 2 項の  ${}_j R_i^p(t)$  は

$${}_j R_i^p(t) = {}_j R_i^p(t-k) \quad (4)$$

となる。よって式(4)を式(3)に代入すれば次式がえられる。

$${}_j M_i(t) = {}_j K_i [R_i(t) - {}_j R_i^p(t-k)] \quad (5)$$

式(5)が、柱の  $M-R$  曲線を図 1 より得た場合の弾性時の曲げモーメント一般式で、当該次の条件を満足する。

$$\left| {}_j K_i [R_i(t) - {}_j R_i^p(t-k)] \right| < M_p \quad (6)$$

換言すれば、式(6)が成立するとき、柱は弾性と判別され、曲げモーメントは式(5)で表わされる形となる。よって式(6)を弾性時の判別式と呼ぶ。

軸力による付加モーメントを無視すれば、柱 1 本のポテンシャルエネルギーは  $M^2/K$  で表わされ、 $m$  層  $n$  棟間ラーメン全体のポテンシャルエネルギーは次のように求められる。

$$U = \sum_i^m \sum_{j=1}^{n+1} \frac{{}_j M_i^2}{{}_j K_i} \quad (7)$$

一方ラーメン全体の運動エネルギーは、 $i$  層の柱に集められた重量を  $\bar{W}_i$ ,  $i$  層と地盤の相対速度を  $\dot{x}_i$  とするとき地盤の速度を  $\dot{x}_o$  とすれば

$$T = \sum_i^m \frac{1}{2} \frac{\bar{W}_i}{g} (\dot{x}_i + \dot{x}_o)^2 \quad (8)$$

で与えられる。

よって式(7), (8)と Lagrange の方程式より各層の運動方程式を求めるには次式がえられる。

$$\frac{\bar{W}_i}{g} (\ddot{x}_i + \ddot{x}_o) + \sum_j^{n+1} \left[ \frac{2 {}_j M_i}{h_i} - \frac{2 {}_j M_{i+1}}{h_{i+1}} \right] = P_i(t) \quad (9)$$

ただし  $P_i(t)$  は  $i$  層の柱に作用する水平荷重である。

式(7)に初期条件を用ひて、時刻  $t=0$ における [層の地盤に対する加速度  $\ddot{x}_i(0)$ ] を求めれば、これより 1step 後の時刻  $t=k$  における水平変位  $x_i(k)$  が次式より算定される。

$$x_i(k) = x_i(0) + k \dot{x}_i(0) + \frac{1}{2} k^2 \ddot{x}_i(0) \quad (40)$$

さて時刻  $t=2k$  以後の水平変位は、式(7)を差分化してえられた次式(式(1))と式(6), (5)および式(4)の繰返し演算により逐次決定されることとなる。

$$x_i(t+k) = -\frac{gk^2}{M_i} \sum_{j=1}^{n+1} \left[ \frac{2_j M_i(t)}{h_i} - \frac{2_j M_i(t-k)}{h_{i+1}} - R_i(t) \right] + 2x_i(t) - x_i(t-k) - k^2 \ddot{x}_i(t) \quad (41)$$

#### 4. 塑性時の基本式

荷重が増大し、柱が塑性域にはいるれば、弾性を判別する式(6)、曲げモーメントの式(5)および塑性部材角の式(4)に替わる塑性時の判別式、曲げモーメントおよび塑性部材角の算定式が必要となる。

いま、時刻  $t'$  において柱が塑性域にあると仮定すれば、曲げモーメントが正の塑性モーメントの場合と負の塑性モーメントの場合とに分かれてくる。その判別式は、図-1 の M-R 曲線より導導され、前報の結果を用いれば次式で与えられることとなる。

$$\begin{cases} jK_i [R_i(t') - jR_i^P(t-k)] \geq M_p \quad \text{if } jM_i(t') = M_p \\ jK_i [R_i(t') - jR_i^P(t-k)] \leq -M_p \quad \text{if } jM_i(t') = -M_p \end{cases} \quad (42)$$

一方塑性時の水平変位算定式は、弾性時のそれと全く合致するが、その根柢は次の通りである。  
[層  $j$  省の柱が塑性になると、柱頭柱脚には「ゆがむる塑性ヒンジ」が形成されるが、これは単なるヒンジに塑性モーメントが作用して「アモガズ」であり、二つ塑性モーメントを外力モーメントとみなせば、弾性時の運動方程式たる式(7)の左辺の  $jM_i$  は零となるが、右辺の一般力の項に塑性モーメントが含まれ、結局塑性時の水平変位算定式は式(41)で与えられることとなる。

ニ、とき、柱頭柱脚には一定の曲げモーメントと共に塑性変形が進行する。いま、時刻  $t-k$  から今までの微小時間に増加する塑性部材角を  $\Delta R_i^P(t-k)$  とおけば次式が成立する。

$$\Delta R_i^P(t-k) = jR_i^P(t) - jR_i^P(t-k) \quad (43)$$

一方  $\Delta R_i^P(t-k)$  は前報と同様に M-R 曲線の幾何学的関係に注目すれば、塑性モーメントの正負にかかわらず、次式で求められる。

$$\Delta R_i^P(t-k) = \frac{1}{jK_i} [j\bar{M}_i(t) - jM_i(t)] \quad (44)$$

$$\text{したがって } j\bar{M}_i(t) = jK_i [R_i(t) - jR_i^P(t-k)]$$

さて時刻  $t$  における塑性部材角は式(3)を变形して

$$R_i^P(t) = jR_i^P(t-k) + \Delta R_i^P(t-k) \quad (45)$$

で算出されることとなる。

## 5. 数値計算例

軸力がせん断形ラーメンの動的挙動に及ぼす影響を調べるために、図-4に示す門型ラーメンを例にとって、図-5に示す水平荷重を作用させて、曲げと軸力を考慮した場合と曲げのみを考慮した場合の応答計算を行なつた。

その際、はりに集中する重量 $\gamma$ は軸力のみによる柱の終局耐力 $N_0$ の $2\beta N_0$ 倍、水平荷重 $P(t)$ は静的崩壊荷重 $P_0 = 4M_0/h$ の $(1-2t)$ 倍といし、柱の断面は2.2図-3(a)に示す工形として、次の諸元を用ひたととする。

$$A = B = 25.0 \text{ cm}, t_1 = 0.9 \text{ cm}, t_2 = 1.4 \text{ cm}, h = 4.0 \times 10^2 \text{ cm}$$

$$\text{断面二級モーメント } I = 1.07 \times 10^4 \text{ cm}^4, \text{ 弹性定数 } E = 2.1 \times 10^6 \text{ kg/cm}^2,$$

$$\text{降伏応力 } \sigma_y = 4.0 \times 10^3 \text{ kg/cm}^2, k = 0.2 \text{ sec}$$

図-6および図-7は無次元化された軸力 $N/N_0 = \beta$ をパラメータとして、水平変位および塑性部材角を示したもので、実線は曲げと軸力を考慮した場合を、破線は曲げのみを考慮した場合を示したものである。

$\beta = 0.07$ では軸力の影響は無視しうる程度小さく $1.5\%$ 、 $\beta = 0.2$ になると動的挙動とその剛性两者とも同一傾向を示すことからかくわざず、塑性变形は $95\%$ を増大 $1.2\%$ こと認められる。さうして $\beta = 0.4$ では軸力の影響がより顕著に現われ、軸力の存在があるや無視しないものとなつてゐる。

## 6. むすび

完全弾塑性型復元力特性を有するせん断形ラーメンの水平荷重に対する応答解析法として、柱の曲げと軸力を考慮した差分法による繰返し算法を提示し、 $N/N_0 = \beta > 0.4$ が通常値であることを高層建造物の応答解析上は軸力による塑性モーメントの低減を無視できることを明確にした。

### 参考文献

- ①山崎・黒木：水平荷重によるラーメンの動的弾塑性解析  
昭和42年度土木学会西部支部研究発表会論文集 昭和43年2月

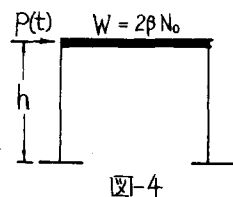


図-4

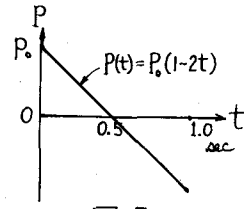


図-5

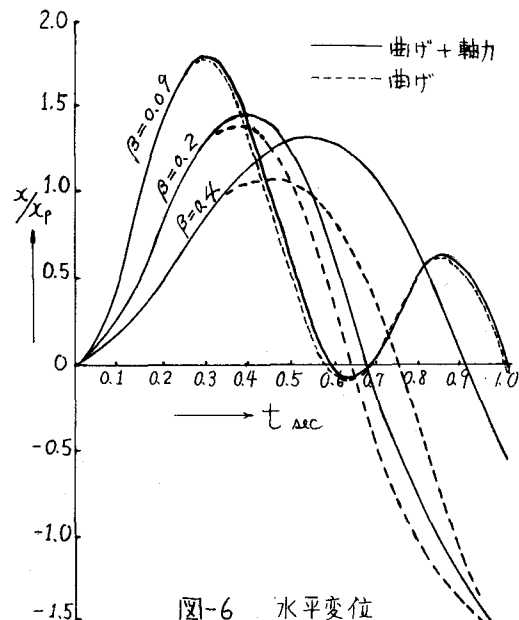


図-6 水平変位

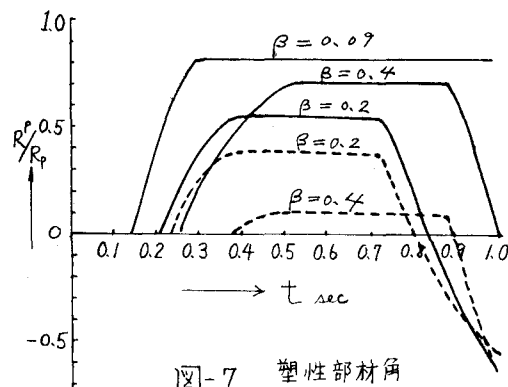


図-7 塑性部材角